

# 抄 錄

第 27 卷 第 6 號 昭和 16 年 6 月

## 應用力學

(68) 厚さの薄い圓形拱の挫屈に就て	590
(69) 定點係數の決定に關する圖表	592
<hr/>	
<u>水 理</u>	
(70) 流速測定用木製フローに關する實驗	594
(71) 沈泥の浮游機器に關する實驗	596
<hr/>	
<u>コンクリート</u>	
(72) Possum Kingdom 堤壩に於けるコンクリート塊中の水和溫度	597
(73) 楔形鐵筋コンクリート梁の剪應力及附着應力	598
(74) 米國に於けるコンクリート界の現況	598
<hr/>	
<u>道 路</u>	
(75) 米國に於ける最近の道路工事統計	600
(76) 1940 年度に於けるコンクリート道路の進歩	601
<hr/>	
<u>橋梁及構造物</u>	
(77) 中歐に於ける長徑間の大拱橋の計畫	603

## 應用力學

### (68) 厚さの薄い圓形拱の挫屈に就て

J. Ratzenberger, "The Buckling of a Thin Circular Arch," Engineering, Oct. 11 1940.)  
p. 284~285. 同 正義抄

中心線が半徑  $r$  なる圓弧をなす厚さの薄い曲り梁を考へよう。此の梁に單位長について  $p$  なる等布壓力が作用する時、拱の接線方向に於ける力  $P = pr$  によつて拱は等布壓力と釣合つてゐる。しかし  $p$  が成る値以上になると縦方向の壓力の外に撓みが起る。壓力  $p$  の方向は變形の際に變らぬといふ假定と關聯してその平面内に於ける中立軸の弯曲の場合を考へよう。

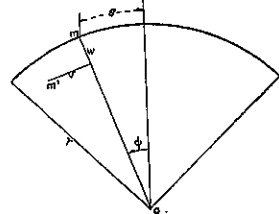
#### 弯曲方程式と釣合に對する諸條件

圖-1 に示す如く、中心角  $\phi$  なる中心線上の一點  $m$  は弯曲に依つて  $m'$  になる。半徑方向の變位は  $w$  で、接線方向の變位は  $v$  である。

長さが不變なる故

$$w = \frac{dv}{d\phi}$$

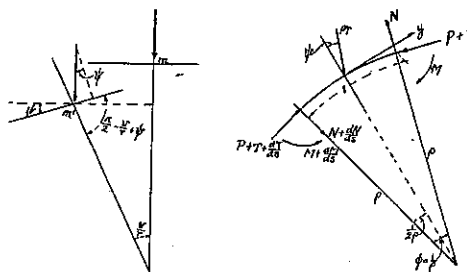
彈性方程式は  $M = \frac{EI}{r^2} \left( \frac{dv}{d\phi} + \frac{d^3v}{d\phi^3} \right)$



茲に  $EI$  は最初の曲率に於ける梁の剛性率である。  
變形された軸の曲率を  $\rho$  とすれば

圖-2.

圖-3.



$$\frac{1}{\rho} = \frac{1}{r} + \frac{1}{r^2} \left( \frac{dv}{d\phi} + \frac{d^3v}{d\phi^3} \right)$$

圓弧上の接線の回轉は回轉角を  $\psi$  とすれば

$$\psi = \frac{v}{r} + \frac{1}{r} \frac{d^3v}{d\phi^3}$$

圖-2 に於て  $\angle Mom' = \frac{\pi}{r}$

新らしい弧の接線と  $om'$  とのなす角は  $\frac{\pi}{2} - \left( \frac{v}{r} - 4 \right)$  である。圖-2 及圖-3 に於て、單位長の軸の部分を考へ  $x$  軸及  $y$  軸に關する力と力率の釣合を考へ、二次以上の無限小を無視し、小角の餘弦を 1 とし、角の正弦を角の大きさに等しくおくとき、次の方程式が成立する。

$$\frac{dN}{ds} + p - (P+T) \frac{1}{\rho} = 0 \quad \dots \dots \dots (1)$$

$$\frac{dT}{ds} + N \frac{1}{\rho} - p\psi = 0 \quad \dots \dots \dots (2)$$



$n > 3$  のときは  $p_k = 16 \frac{\pi^2 EI}{L^2}$  で決められる。

$L = 2\pi r$  なる圓形輪に對して  $P_k = p_k r$  であり,

$$p_k = 4 \frac{EI}{r^3}$$

となり。上述の結果と正確に一致する。

Mr. Levy の有名な公式  $p_k = 3 \frac{EI}{r^3}$  は變形した軸の方  
向に常に垂直な靜水壓に對して與へられる。

E. L. Nicolai の  $p_k = 4, 5, \frac{EI}{r^3}$  によれば均等に分布  
した外力は常に拱の中心の方向に働くといふ假  
説を生ずるのである。

$\beta = \frac{l}{6EJ}$  にて  $\frac{1}{6E}$  を省略して  $\beta = \frac{l}{J}$  とすれば

$$\lambda^a = \frac{l/J}{2 \frac{l}{J} + \varepsilon^a}$$

又  $\frac{l}{l} = K = \frac{1}{6E\beta}$  の關係を入れれば

$$\lambda^a = \frac{1}{2 + K\varepsilon^a}$$

さらに  $\varepsilon^a = \frac{1}{\delta}$  とすれば

$$\lambda^a = \frac{1}{2 + K \frac{1}{\delta}}$$

圖-4 はこの關係を示すものである。

$\varepsilon = \frac{1}{\delta}$  の計算には  $\tau$  に關する Suter 氏の式を變化す  
る。但  $\tau$  は  $M=1$  を加へた場合の部材端の回轉角であ  
る。 $J=\text{Const.}$  なる時

$$\tau = \beta(2 - \lambda) = \frac{l}{J}(2 - \lambda)$$

圖-4.

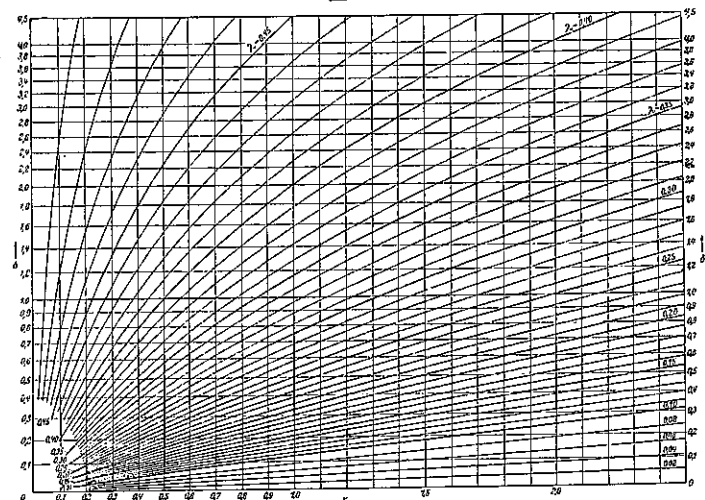
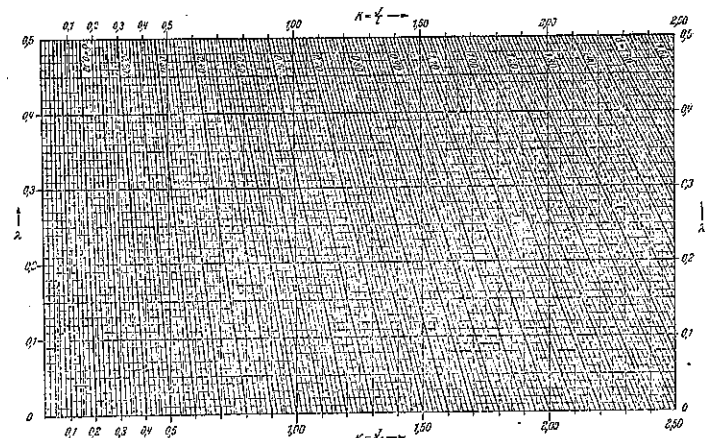


圖-5.



#### (69) 定點係數の決定に關する圖表

(F. Bäumelt, "Tafeln zur Bestimmung der Rahmenkonstanten bei der Festpunkt-methode," Der Bauingenieur, 20. Okt. 1940. Heft 39/40, S. 309. 伊地知堅一抄)

定點法は明快にして簡単であるとして非常に多く用ひられてゐる。多くの荷重を有する場合には Groß の方法よりも便利で迅速に用ひることが出来る。

定點法で計算する場合には定點係數を知らねばならない。その定點係數決定を容易ならしめるのがこの圖表である。但部材が等断面なる場合に限り用ひられる。

定點係數の決定には定點距離に關する Suter 氏の 7 式より出發する (Suter, E: Die Methode der Festpunkt, I. Bd. S. 421 Berlin 1932)。

$$\alpha = \frac{l \cdot \beta}{\alpha \varepsilon^a + \varepsilon^a}$$

但  $\beta$ :  $M_a = 1$  なる場合の單純梁 B 端の回轉角

$\alpha^a$ :  $M_a = 1, M_b = 1$  なる場合の單純梁 A 端の回轉角

$\varepsilon^a$ : 半固定端に  $M=1$  を加へた場合の回轉角

又定點距離の代りに直接に

$$\lambda^a = \frac{a}{l-a} \text{ 又は } \lambda^b = \frac{b}{l-b}$$

の關係を用ひるのが便利である。この定點係數より固定モーメントの計算が出来る。

斷面二次モーメント  $J$  の一定なる部材について (  $\alpha^a = 3\beta$  )

$$\lambda^a = \frac{\beta}{2\beta + \varepsilon^a}$$

となる。

$$\delta = \frac{1}{\pi} = \frac{J}{l(2-\lambda)} = \frac{K}{2-\lambda}$$

図-5 はこの関係を示す多部材の全回転角は

$$(1/\tau_1 + 1/\tau_2 + 1/\tau_3 + \dots + 1/\tau_n) \text{ Suter 式)$$

$$\delta_{1,2,3,\dots,n} = \delta_1 + \delta_2 + \delta_3 + \dots + \delta_n \left( = \frac{1}{\varepsilon} \right)$$

各部材に対する分配率は

$$\mu_{1-n} = \frac{\tau_1, \tau_2, \dots, \tau_n}{\tau_n} = \frac{\delta_n}{\delta_{1,2,3,\dots,n}}$$

定點係数を求めるには部材剛度を  $K$  求めることにより簡単になる。しかばね図-5より  $\delta$  が得られる。各部材の  $\delta$  を全部加へれば図-4より定點係数が得られる。  
連続構に關しては簡単に定點常数が求まるから圖表なしに計算出来る。 $\lambda$  については

$$\begin{aligned} \lambda_n^a &= \frac{l_n/J_n}{2\frac{l_n}{J_n} + \frac{l_{n-1}}{J_{n-1}}(2-\lambda_{n-1}^a)} \\ &= \frac{1}{2 + \frac{K_n}{K_{n-1}}(2-\lambda_{n-1}^a)} \end{aligned}$$

全部の断面が一定なる場合には

$$\lambda_n^a = \frac{1}{2 + \frac{l_{n-1}}{l_n}(2-\lambda_{n-1}^a)}$$

結合點の位置の狂はない ラーメンの場合には定點係数、分配率を求め、全構に傳播すべき固定モーメントを求める。結合點の各部材の固定モーメントの総和がその點の全モーメントとなる。

結合點の變形の起るラーメンでは計算により變形量を求めねばならない。そしてそのために起るモーメントを加算するのである。加算すべきモーメント  $M_a, M_b$  の大きさは部材の回転角に従つてゐる。今變形量を  $\rho$  とすれば回転角は  $\rho/l$  である(図-6)。然るとき次の關係がある。

$$\begin{aligned} \frac{l}{\rho} + M_a(\alpha_a - \varepsilon^a) + M_b \cdot \beta &= 0 \\ \frac{l}{\rho} + M_b(\alpha_b - \varepsilon^b) + M_a \cdot \beta &= 0 \end{aligned}$$

これより

$$M_a = M_b \frac{\alpha_b - \varepsilon^b - \beta}{\alpha_a - \varepsilon^a - \beta}$$

$$\text{又 } M_a = -\frac{\beta}{\alpha_a - \varepsilon^a} M_b : \quad \frac{M_a}{M_b} = \lambda^a$$

故に

$$\alpha_a - \varepsilon^a = -\frac{\beta}{\lambda^a}$$

$$\alpha_b - \varepsilon^b = -\frac{\beta}{\lambda^b}$$

$$\text{第一式より } M_b = \frac{\rho(\lambda^b + \lambda^a \lambda^b)}{l \cdot \beta(1 - \lambda^a \lambda^b)}$$

$J = \text{Const.}$  なる部材に對しては

$$M_a = \frac{6EJ \cdot \rho \cdot (\lambda^a + \lambda^a \lambda^b)}{l^2(1 - \lambda^a \lambda^b)} = k(\lambda^a + \lambda^a \lambda^b)$$

$$k = \frac{6PJ \cdot \rho}{l^2(1 - \lambda^a \lambda^b)}$$

變形量の代りにそれに相當するモーメントの大きさを用ひるのである。

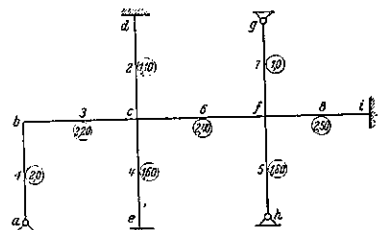
$$M_a = \frac{K \cdot \rho(\lambda^a + \lambda^a \lambda^b)}{l(1 - \lambda^a \lambda^b)}$$

$$M_b = \frac{K \cdot \rho(\lambda^b - \lambda^a \lambda^b)}{l(1 - \lambda^a \lambda^b)}$$

### 計算例

図-7 の如き構の定點係数の計算を示す。圖中丸印は部材剛度  $K$  の値である。図-5より  $\delta$ 、図-4より  $\lambda$  を求むれば

図-7.



$$\delta_1^b = 1.00$$

$$\delta_2^c = 1.25$$

$$\delta_3^d = 1.07$$

$$\delta_4^e = 0.733$$

$$\delta_5^f = 1.46$$

$$\delta_6^f = 0.50$$

$$\delta_7^f = 0.90$$

$$\delta_8^f = 1.67$$

$$\lambda_1^b = 0.233$$

$$\lambda_2^c = 0.359$$

$$\lambda_3^d = 0.348$$

$$\lambda_4^e = 0.260$$

分配率は

$$\mu_{6-2}^c = \frac{0.73}{3.05} = 0.24$$

$$\mu_{6-3}^c = \frac{1.25}{3.05} = 0.41$$

$$\mu_{6-4}^c = \frac{1.07}{3.05} = 0.35 (= 1 - \mu_{6-2}^c - \mu_{6-3}^c) \text{ 等}$$

例へば 6 部材に荷重項  $\Sigma = M = 5000 \text{ kg-m}$  なる等分布荷重を與へれば

$$X_6^c = -0.359 \times 5000 \times \frac{1 - 0.360}{1 - 0.359 \times 0.360} = -1320 \text{ kg-m}$$

分配率  $\mu_{6-3}^c$  により

$$X_3^c = -1320 \times 0.41 = -540 \text{ kg-m}$$

$$\text{又 } X_3^b = +0.233 \times 540 = 129 \text{ kg-m}$$

..... 等

## 水 理

## (70) 流速測定用木製フロートに関する実験

(S. A. Jegorow, USSR (ソヴェット), "Versuche über den der Wasserströmung voreilenden Baumstamm," Wasserkr. u. Wasserwirtsch., 15. Jan. 1941, S. 17~22. 永井 庄七郎抄)

比重が 1 よりも小なる固体を流水面に置くと、流水よりも大なる速度を以て流れることは古くから知られてゐた。北の現象に対する 2, 3 の假定の内で先づ第一の、基本的な假定は du Buat の説である。

流水面に置かれた物體は先づ流水と同一の速度を得る。流水には水面勾配があるから、物體は自重に依り勾配の方向に滑動する。然る際物體の周囲の液體に依り摩擦抵抗がある。

此の相対運動の抵抗と流れの方向への物體の自重の分力とは相等しい。而して其の抵抗は相対速度の自乗に比例する。即ち

$$GJ = \zeta \frac{\gamma}{g} F u^2$$

茲に  $G$  は物體の重量、 $J$  は流れの勾配、 $u$  は流水に對して等速運動をなす物體の相対速度、 $\zeta$  は物體の大きさ及形狀に依る抵抗係数、 $\gamma$  は流體の比重、 $F$  は浮體の最大断面である。從て

$$u = \sqrt{\frac{G J g}{\zeta \gamma F}}$$

此の問題を解く爲實驗室に於て、液體として水を用ひ、木製フロートに就て實驗を行つた。但し直線流の場合である。

次の 5 つの種類の實驗を行つた。

(1) 豊備實驗、(2) 同一質量で形の異なる木製フロートの相対速度と勾配及表面流速との關係、(3) フロートの形狀抵抗の決定、(4) 流速を一定にした場合の相対速度と勾配との關係及び勾配を一定にした時の相対速度と流速との關係、(5) 相対速度とフロートの質量との關係

(1) 第一の豊備實驗には幅 1.1 m、深さ約 0.5 m、長さ 24 m の矩形開水路を用ひ、模型フロートは長さ 0.75 ~ 3.00 m、直徑 0.05 ~ 0.20 m で、形狀及表面の粗度を種々に變じた。此の實驗から先づ第一に次のことが判つた。フロートを流水面に初速度零で置くと、フロートは徐々に速度を増大して流速に達し、而る後更に流速よりも速度が大となり、遂に流水に對して一定の相対速度を持つた等速運動を續ける。然るに球形のフロートでは速度は流速よりも小である。之は球は水平軸及垂直軸の周りに激しく回轉する爲に勢力を消耗し、前進運動が減退する故である。此の事は流速測定用フロートの形狀擇を定する際に考慮すべきである。

大き從て質量の小なるフロートは速かに等速運動に達し、從て等速運動の相対速度も小である。フロートの質量が増大すると共に相対速度も増大し、又フロートの表面粗度が増すと相対速度は減少する。

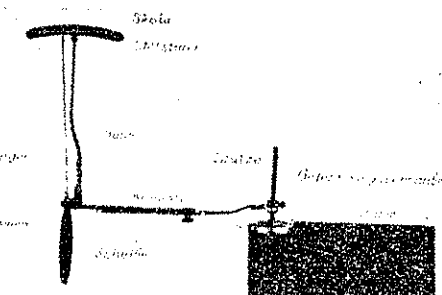
フロートは長さを流れの方向に向けた方が安定である。之は河の幅方向の流速分布が不均一であるからである。又フロートの長さを流れに向けた時の抵抗が横に流した時よりも小である。フロートの元口を下流に向かた時の方が、末口を下流にした時よりも安定である。

矩形水路では直線的な流れが得難いので深さ約 0.4 m の三角形水路 (定角 =  $\angle R$ ) を作り、水路長を 27 m に延長し、下部に設備したるジャツキに依り、水路の勾配を種々に變じた。

フロートの速度は秒測計及鋼尺により、流速は流速計或はビトーブ等に依り測定し、兩速度の差より相対速度を求めたが、此の方法では兩絶対速度の測定誤差が相対速度と餘り相違しない缺點があつたので、次の如き測定装置を使用することとした。

A. A. Narkewitsch は直接相対速度を測る 図-8 の如き装置を考案した。模型フロートの一端に圓形の支へが打附けられ、その支への上に承 (Konsole) が來てゐて、承は左右に動き得るのみならず上下の方向にも位置を變へ得る。又その長さをも變へることが出来る。承の端の三角形ブリズム型支への上に圓板が掛けられ、その直徑はフロートの直徑に等しい。圓板の他端には指針が附いてゐて、水平に對する圓板の傾斜角を、圓形目盛盤上に指示する如くなつてゐる。水中に於ける承の位置は、圓板の深さがフロートの深さに等しくなる様に定め、流れのない時には圓板はフロート軸に直角である。流速がフロートの速度より大なる時は圓板は垂直

圖-8. フロートの相対速度測定装置

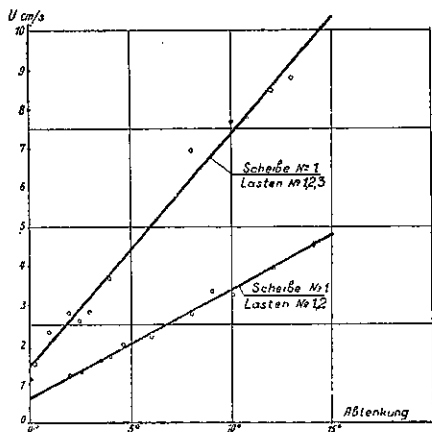


の位置から前方に傾斜し、フロートの速度が流速より大なる時は後方に傾斜する。種々なる相対速度に對して同程度の測定精度を得るには、圓板の重さを種々に變へなければならぬ。

Kutschinskaja 實驗所に於て、凡ての種類の圓板に對して、圓板の傾斜角と相対速度との關係が検定された。圖-9 は静水中に於ける検定に依り得られた曲線を示す。渦流中に於ては相當傾斜角は恐らくより大であ

らうが、流水中に於ける検定が困難なると、相対速度測定の精度が低くなる爲に、流水中の検定は行はなかつた。

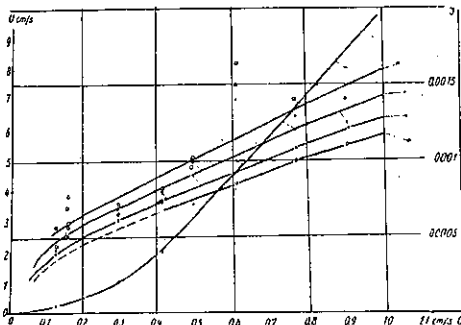
図-9. 相対速度と傾斜角との検定曲線



実験の結果、相対速度  $u$  [cm/sec] と表面流速  $v$  [m/sec] との関係は 図-10 の如くである。

図-10. 相対速度と表面流速との關係

- 圓筒形フロート, × 葉巻形フロート
- 先端が厚い圓錐形フロート
- 先端が薄い圓錐形フロート
- + ○ と J との曲線



使用された模型フロートは図-11の如きもので、a) 圓筒形フロート、長さ 75 cm、直徑 8 cm、重量 2420 gr, b) 半圓錐形、長さ 75 cm、直徑厚い方 8 cm、薄い方 7 cm、重量 2500 gr, c) 葉巻形、長さ 75 cm、直徑 8 cm、重量 2200 gr である。

図-11. 模型フロート

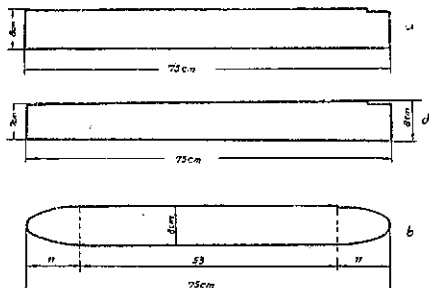


図-10 より、1) 相対速度は流速と拡物線的関係にある。2) 根部が下流側にあるフロートが流水に對する抵

抗は最小である。之はフロートの背後に形成される渦巻の範囲が最小であるからである。葉巻形も抵抗が小さい。

図-12. 相対速度  $u$  とフロート及水の絶対速度  $v$  及  $c$  との関係

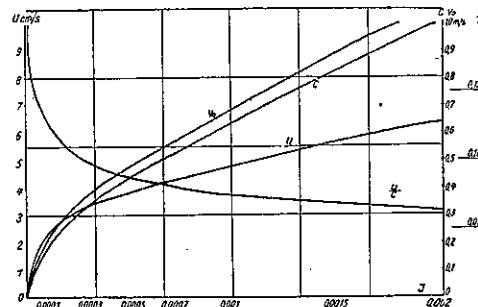


図-12 は圓筒形、フロートの相対速度  $u$  [cm/sec] と勾配  $J$  との関係を示す。圖中  $c$  は水面流速  $v$  は圓筒形フロートの絶対速度である。

幅 0.7 m、深 0.4 m の硝子壁矩形水路に於て、直徑 8 cm、長さ 75 cm の圓筒形フロートに就て、形狀抵抗を測定した。抵抗  $R$  は

$$R = \zeta \frac{v^2}{g}$$

より抵抗係数  $\zeta$  を計算すると次の如くである。

$u=4.2$ cm/sec の時	$R=4.7$ gr	$\zeta=0.60$
7.3 "	1.3	0.56
11.2 "	2.3	0.46
15.6 "	4.7	0.47
22.0 "	9.3	0.48
33.7 "	23.2	0.51

$\zeta$  の値は平均 0.5 で、他の人の實驗結果と良く一致してゐる。

水路壁の粗度を種々に變じて、圓筒形フロートに就て、相対速度  $u$  と勾配  $J$  との関係を求めた。圖-13 は之を示す。壁の面は木製水路に細い目の網を張り、更にその上に太い目の網を張つて粗度を變へた。

図-13. 相対速度  $u$  と勾配  $J$  との関係

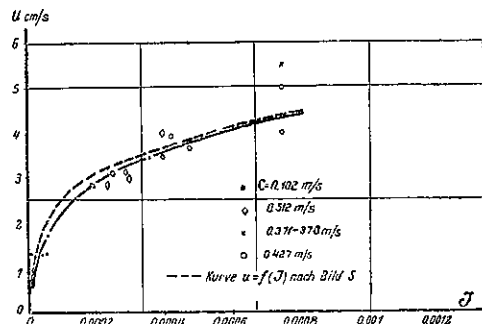


図-13 より、フロートの等速運動に於ける相対速度は勾配にのみ關係し、流水の絶対速度には無關係である。

次に相対速度とフロートの重量との關係を調べる爲に形狀抵抗の同一なる 3 種のフロート、1) 長さ 75 cm, 2420 gr, 2) 50 cm, 1800 gr, 3) 37.5 cm, 1180 gr に就

て、三角形木製水路に於て、勾配及流速を3種に變じて実験した。圖-14はフロート重量 $G$ と相対速度 $u$ との關係を示す。圖より相対速度は重量の平方根に比例することが判る。今絶対流速 $C=0.2\text{m/sec}$ 及 $C=0.5\text{m/sec}$ の時の相対速度 $u$ の計算値及實測値を比較すると表-1の如くである。

圖-14.

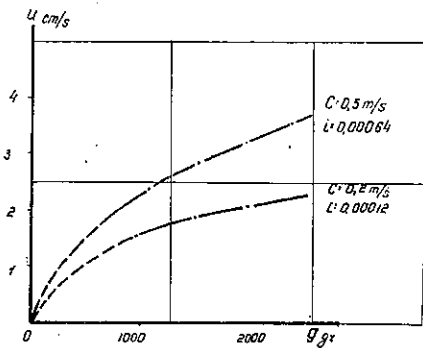


表-1.

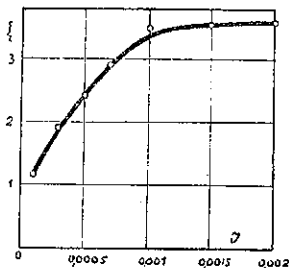
	$G$	1 000 gr	1 500 gr	2 000 gr	2 500 gr
$G=0.2\text{m/sec}$	實測値	0.016	0.019	0.021	0.023
	計算値	0.015	0.018	0.021	0.023
$G=0.5\text{m/sec}$	實測値	0.0235	0.0285	0.033	0.037
	計算値	0.0235	0.0286	0.033	0.037

但し $u=K\sqrt{G}$ にて計算し、 $G=2 000 \text{ gr}$ で $u=0.021 \text{ m/sec}$ 及 $u=0.033 \text{ m/sec}$ にて、實測値に合はせたものである。

次表及圖-15に於て、抵抗係数の計算値と勾配との關係を示す。

$J=0.01$	0.0003	0.0005	0.0007	0.001	0.0015	0.002
$u=0.025$	0.034	0.039	0.043	0.046	0.050	0.054
$\zeta=1.17$	1.00	2.11	2.91	3.48	3.53	3.58

此の $\zeta$ の値は實驗値の3~7倍に相當する。但し此の實驗は相対速度が絶対流速に等しい時である。

圖-15. 抵抗係数 $\zeta$ と勾配 $J$ との關係

### (71) 沈泥の浮遊機構に関する實驗

H. Rouse, "Experiments on the Mechanics of Sediment Suspension," Proc. 5th. Intern. Congr. Appl. Mech., Sept., 12~16, 1938, p. 550 ~554. 佐藤清一抄

$w$ を沈泥の沈降速度、 $c$ を浮遊沈泥の単位體積についての濃度とし、坐標を水平に $x$ 軸、垂直に $y$ 軸をとりて、 $v'$ を $y$ 軸方向の速度變動の平均絶対値、又 $l$ を混含距離とすれば、沈泥が渦亂作用によつて垂直方向に運

搬される平均の割合と沈泥がその自重によつて沈降する割合とか平衡を保つ時に浮遊現象が起つてゐるといふ考へのもとに次の式が考へられる。

$$cv = -\beta v'l \frac{dc}{dy} \quad \dots \dots \dots (1)$$

茲に $\beta$ は比例常数である。之をある水平基面 $a$ を考へて積分すれば

$$\ln \frac{c}{ca} = -\frac{w}{\beta} \int_a^y \frac{dy}{v'l} \quad \dots \dots \dots (2)$$

茲に $v'l$ は一般に場所の函数で時としては之を常数と見做して計算する事もあるが、例へば運動量輸送の理論によれば之は平均流速の勾配によつて表はされ、又 von Kármán の流速分布に關する一般法則を管路に於けると同様、開水路にも適用するとせば、之に相當した分布函数を解析的に定める事が出来る。

そこで今實驗としては $v'l$ を $y$ について一定ならしめ、(2)式を書きかへた

$$\frac{c}{ca} = e^{-\frac{w}{\beta}(y-a)} \quad \dots \dots \dots (3)$$

なる式によつて表はされる分布法則が實際に行はれ得るや否や、又 $e=\beta v'l$ は(此の場合には $\beta$ が)如何なる性質のものであるかを検する爲めに次の實驗を行つた。

實驗装置は圖-16の如く、水の流動により起る渦亂を流動せしめずにガラスの水槽内に於て一定形の格子を一定振幅 $A$ 振動させて即ち $v'l$ は一定、又 $v'l$ はについて一定人工的に渦亂を起さしめた。而して振動数を變へる事によつて $v'l$ の値を變へる事にした。

使用した沈泥は4種類で表-2及び圖-17に示す通りである。之等の沈泥を水槽に量を數種に變へて加へ、圖-18の加き試料採取器で任意の $\varepsilon$ に對する試料

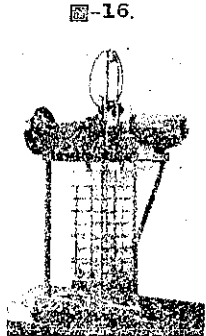


表-2. 實驗用沈泥

名稱	粒徑 (mm)	篩目	沈降速度 (cm/sec)	Reynolds數
1/4	0.351~0.246	42~60	3.60	11.0
1/8	0.175~0.124	80~115	1.75	2.6
1/16	0.088~0.061	170~250	0.675	0.5
1/32	0.053~0.037	—	0.191	0.06

を探取してその含有量を求めた。その結果は圖-19の如く、一定の $\varepsilon$ に對しては(3)式なる布分布法則が成立する事が證明された。

又比例常数 $\beta$ は一つの流體については一定値を有するものであらうが、沈泥については(a)沈泥の混合狀態が實際上流體のそれと一致しないならば、又(b)沈泥の存在が流體の渦亂状態を變へるならば、その大きさが變化す

圖-17.

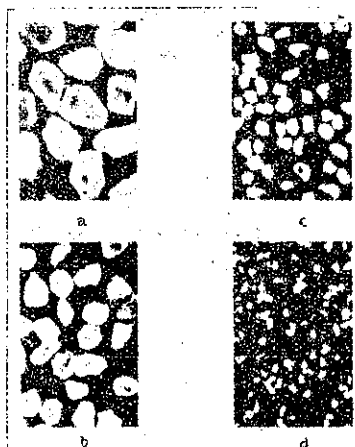


圖-18.

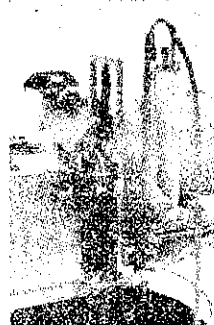
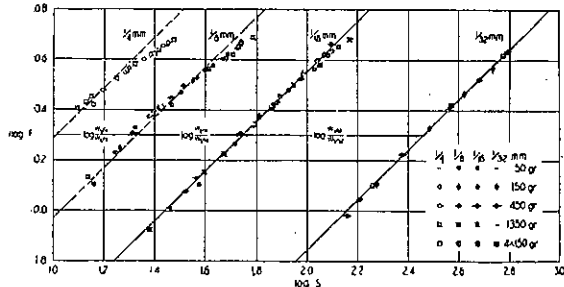


圖-20.



るであらうといふ事が考へられるが、 $1/31$  及び  $1/16$  mm の沈泥に対する資料は図-21 に於て原點を通る一直線上に分布する事からして  $\epsilon = \beta v l$  なる積は  $F$  (振動数) に直接比例する事が分り、而も  $\beta$  はこの 2 つの場合に對しては同一である事が判る。然るに  $1/8$  及び  $1/4$  mm なる比較的大粒徑の沈泥に於ては、此の直線から偏倚してゐるので之等についても  $\beta$  はも早や一定ではない事が判る。又図-20 に示す如く水槽内の沈泥の量を變へてもその爲めの影響が見受けられない事からして、沈泥の存在が渦亂の機構を變るものではなきさうである。從つて、粒徑の大なる沈泥に於ては、その混合はも早や全く流體の渦亂のみにより支配されるものではなくして粒子の慣性が相當に大なる影響をもたらしてくるのではないかと考へる。所が偶然にも粒徑の小なる 2 種は Stokes の法則の範圍内にあるものであり、大なる 2 種はその範囲外にあるので、之は沈降に對する Reynolds 數にも關係をもつてゐるものではないかとも考へる。

### コンクリート

#### (72) Possum Kingdom 堀堤に於ける コンクリート塊中の水和溫度

C. P. Williams, "Possum Kingdom Dam and Power House," Civ. Eng., Feb. 1941, p. 96~  
100. 永井 庄七郎抄

圖-19.

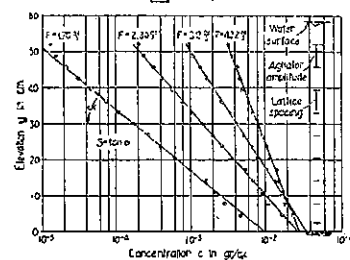
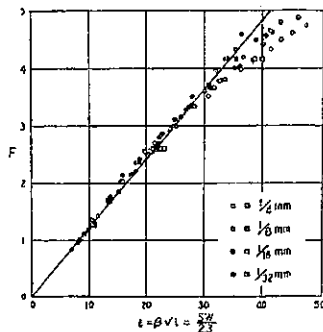


圖-21.

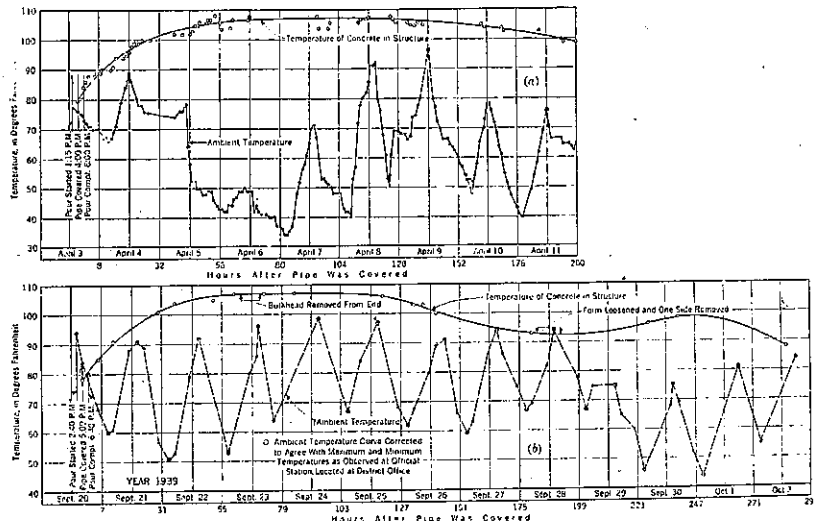


Possum Kingdom 堀堤は Texas 州の重要河川の一つである Brazos 河に築造された Ambursten 式扶壁堀堤で、尙中央部に長さ 720 ft の Ogee 型溢流堀堤を有してゐる。溢流堀堤の下流端には高さ 8 ft の連續 deflector が造られてゐる。

此の堀堤は低熱セメントで且貧配合のコンクリートで造られ、混合水は good workability を得るに必要なだけに限られた。氣温の高い時には、混合水は冷却され骨材も水をかけ、突棒で撹き交ぜて冷し、コンクリートは施工後 14 日間水で冷却された。2 種のコンクリート塊の中心附近で測定された内部溫度及周壁の溫度は図-22 の如くである。図-22 (a) は deflector に於ける、長さ 40 ft, 断面の上邊長 2 ft, 下邊長 19 ft, 高さ上流側 2 ft, 下流側 12 ft の梯形塊の内部溫度を示し、此のコンクリート塊を築造する時は冷却所が設置されてゐなかつた。図-22 (b) は扶壁に於ける、底面長 39 ft 9 in, 上面長 38 ft 6 in, 高さ 12 ft, 厚さ 9 ft の塊の内部溫度にして、此の塊が築造される時は冷却所が運轉されてゐた。

兩塊共最高溫度は大體施工後 3~4 日目に起つてゐる。又扶壁に於ける塊の方が deflector に於ける塊より容積が大であるに拘らず水和溫度は低い。之は deflector 塊の時は冷却所がなく、周圍の溫度が高く、從て混合水及骨材の溫度が高かつた爲である。

図-22. コンクリート塊内部水と温度と周囲温度との比較



### (73) 楔形鉄筋コンクリート梁の剪應力 及附着應力

Robert B. B. Moorman, "Shear and Bond Stresses in Wedge-Shaped Reinforced Concrete Beams," Civil Eng., Feb. 1941, p. 114 神 効抄

近年種々の厚さの鉄筋コンクリート梁の用途の擴大に伴つて、楔形梁の単位剪應力を導く事は興味ある事になつた。図-23 は楔形梁の一部を示すものであるが、この場合彎曲率  $M$  がこの断面に面作用するものとする。今  $T'$  を鉄筋に於ける引張應力の水平分力とすれば、考へてみると断面で彎曲率を取る事に依り次式を得る。

$$M = ZT \text{ or } T = \frac{M}{Z} \quad \dots \dots \dots (1)$$

(1) 式を微分すれば次式を得る。即ち

$$dT = \frac{ZdM - MdZ}{Z^2} \quad \dots \dots \dots (2)$$

(2) 式より両邊を微分  $dx$  で除すれば、

$$\frac{dT}{dx} = \frac{dM}{dx} \frac{1}{Z} - \frac{MdZ}{Z^2 dx} \quad \dots \dots \dots (3)$$

任意の断面に於ける彎曲率の變化を  $dM/dx$  とすれば、これはその断面の剪應力  $T'$  に等しい。定義により  $Z = jd$  であるから上の關係を (3) 式に入れると

$$\frac{dT}{dx} = \frac{V}{jd} - \frac{M}{(jd)^2} \frac{d}{dx}(d) \quad \dots \dots \dots (4)$$

然るに

$$\frac{d}{dx}(d) = \tan \alpha_c + \tan \alpha_t$$

$$dT = vb dx$$

$$\text{or} \quad \frac{dT}{dx} = vb$$

茲に “ $v$ ” は單位水平  
剪應力  
“ $b$ ” は梁の幅  
であるから (4) 式は次の如  
く書換へられる。

$$vb = \frac{V}{jd} - \frac{M}{jd^2} (\tan \alpha_c + \tan \alpha_t) \quad \dots \dots \dots (5)$$

及び

$$v = \frac{V}{bjd} - \frac{M}{bjd^2} (\tan \alpha_c + \tan \alpha_t) \quad \dots \dots \dots$$

又は

$$v = \frac{1}{bjd} \left[ V - \frac{M}{d} (\tan \alpha_c + \tan \alpha_t) \right] \quad \dots \dots \dots (6)$$

(6) 式は求むる楔形梁に於ける應剪力である。

次に單位附着應力を求める爲に、鉄筋内の應力の微小長  $dx$  に於ける變化を考へる。この變化量の水平分力は  $dT$  であるから、挿入せる鉄筋の方向の變化は  $dT/\cos \alpha_t$  で表され、又その方向の變位は “ $dx/\cos \alpha_t$ ” で表される。今  $\sum_a$  = 任意の断面の全鉄筋の周長の和

$u$  = 平均単位附着應力 (附着應力の強度)

とすれば

$$\frac{dT}{\cos \alpha_t} = \frac{\sum_a u dx}{\cos \alpha_t} \quad \dots \dots \dots (7)$$

$$u = \frac{dT}{dx} \frac{1}{\sum_a} \quad \dots \dots \dots (8)$$

$\frac{dT}{dx} = vb$  であるから、(5) 式を (8) 式に代入すれば

$$u = \frac{1}{\sum_a jd} \left[ V - \frac{M}{d} (\tan \alpha_c + \tan \alpha_t) \right] \quad \dots \dots \dots (9)$$

(9) 式は求むる附着應力の強度を示す。

### (74) 米國に於けるコンクリートの現況

"Latest Concrete Knowledge Reviewed by Am. Concrete Institute," E. N. R., Vol. 126, No. 9, Feb. 27, 1941, p. 31~33. 木村與四松抄

A. C. I. の第 37 回年次集会は 2 月 18~20 日に亘つて Washington に於て開かれたが、特に目立つたものとしては Parker 堤の亀裂の問題、Texas に於ける鋪装用骨組コンクリート、Buffalo に於ける火災を受けたコンクリート及び建築物の支壁構造に代る結構等の使用に関する討議であつた。

新會長には海軍少將 Ben Moreel が選ばれた。

Wason 賞は R. E. Copeland 及び C. C. Carlson (雨に對する壁の抵抗に關する實驗), G. W. Washa (手突き及び振動コンクリートの研究) に對して與へられた。

Parker 堤壟に於ける亀裂 H. J. Merssner 及び R. F. Blanks の報告に依ると、1938 年竣工した Parker 堤壟の外面に昨夏以來亀裂が發生し、大部分は毛狀性であるが、中には指が入る位のものもあるとのことである。抜取供試體についてヤング係数を測定した結果は施工當初の  $4800\,000 \text{ lb/in}^2$  に比し  $220\,000 \text{ lb/in}^2$  であり、壓縮強度も幾分減少してゐることが分つた。兩氏の説に依ると、使用骨材とセメント中のアルカリとの間に化學作用があつて、このために濕氣に當つて膨脹する Jell を形成し、かくて未だ濕氣を有してゐる堤壟の内部は膨脹し、一方乾燥せる外部は收縮し、この變位の相異のために亀裂が發生することである。尙 R. W. Carlson はこの作用に對する促進試験に關して M. I. T. にて目下實驗中である。

最近に於ける 2, 3 のコンクリート工事 Delawase Aqueduct 隧道は特別な示力書に從つて製造した 2,250,000 棟のセメントで捲立てた。この示方書は特にアルカリ量を制限し、クリンカーネの十分なる焼成と防湿とを規定してゐる。不透水性コンクリートはセメント使用量の大きな配合—2 棟/ $\text{yd}^3$ —に依つて得られた。他の工事に於て C. E. Andrew は不透水性コンクリートは 1.5 棟/ $\text{yd}^3$  のセメントを使用し、0.73 の水セメント比を採用することに依つて得られると云つてゐる。昨年の今一つの大工事は Pennsylvania に於ける通行税取立道路工事であつて、2,000,000 棟以上のセメントを使用した。このセメントはセメントの細かさ (1600  $\text{cm}^2/\text{g}$ )、安定度及び溫度なる天候の場合には凝結開始の時間を少しく遅らせると云ふ規定を除いては普通の示方書に從つて購入した。

C. A. Merz 及び M. Gunderson に依つて Chicago に於て Leo B. Wells の最小工費建築設計法に從つて 125 の 2 階及び 4 階の建物が設計された。

之等は支柱構造の代りに結構々造を用ひたもので、Merz は速く建造し得て壁に亀裂を生ぜず、煉瓦工又は石工を節約し得る點有利であると云つてゐる。討議に於て、A. M. Korsmo は結構々造は現行行はれてゐる支柱構造よりも費用が少くて済み、U. S. H. A. が設計した建物は亀裂が入らなかつたと述べた。

火災を受けたコンクリート コンクリート構造は一般に耐火的であると云はれてゐるが、この特質は絶対的のものではない。Buffalo に於ける 1940 年 2 月の大火灾の際の General Mills 會社の 9 階の倉庫の破壊もその一例である。火災の作用、被害高、建物の復舊に關しては T. F. Baum が詳細に報告してゐる。コンクリートの被むる温度は 10~12 時間に亘つて  $2000^\circ\text{C}$  にも達

し、ある断面は 18 時間の間  $1400^\circ\text{C}$  に達した。石灰化の形跡は熱せられた部分に認められた。剝脱は床及び柱に生じた。Eaton の意見に従へば之は火を受けて急速に膨脹するチャート 10%，石英 30% を含んでゐる粗骨材の性質に依るのである。コンクリートの強度の減少は 10~65%，鋼の彈性限界の減少はある場合には 20% であつたが 11% も増加した場合があつた。鋼の耐伸性及び破壊強度は一般に減少し、最大 20% の減少が火熱を最も餘計に受けた部分に生じた。

鉢装コンクリート 起草委員長 H. F. Clemmer に依つて、"普通の状態の下で安全なる結果を得るためにの最小要求" を示す、コンクリート鉢装及び基礎に對する示方書が紹介された。

Texas に於ける國庫補助の道路工事に於ては 5 袋/ $\text{yd}^3$  以下のコンクリートの使用を P. R. A. (Public Road Administration) に依つて承認されてゐる。配合は使用材料について實驗的に設計する。最初に所要の強度を與へる水セメント比を定め、次いで最も良好な粗骨材と砂の割合を以てウオーカブルなコンクリートを造るセメントの最小量を決定するのである。

この原則の下に Texas 州では 25 袋/ $\text{yd}^3$  のコンクリートで 23 噸、 $3\frac{1}{2}$  袋/ $\text{yd}^3$  のもので 69 噌、4 袋/ $\text{yd}^3$  又はそれ以下のもので 700 噌の道路を築造し、それ等の大部分は 8~10 年の長期に亘つて安全に交通を許してゐる。併し表面は骨材が露出し、又豆板状の外觀を呈して急速に磨耗されたが、磨耗はこの程度で止まり、優秀な滑らない面が形成されてゐる。H. Jackson は之は Texas に於て使用したセメント及び骨材の品質の良好なること及び氣象状況の良いことに原因してゐると云つてゐる。討議に於て、氣象状況の良好でない Washington に於ても  $3\frac{1}{2}$  袋/ $\text{yd}^3$  の道路は安全に使用されてゐることが分つた。

採用される建築用語 建築用語は 1936 年の假譯から本質的修正を施されて、一應決定を見、全會員の郵便投票を待つのみとなつた。會合の席上、コンクリートの定義には天然セメント、水硬性石灰、アゾラナを使用したものも廣義に含めるべきであると云ふ意見が出たが、採用とはならなかつた。新しい平版に關する節に反對の委員もあつたが、何れも採用とはらなかつた。

セメント及びコンクリートの研究 セメント中のアルカリ量の測定の問題はセメント製造の際の粉碎補助物の使用的効果と共に目下標準局に於て研究中である。

Ohio 州の試験道路に於て 0.18 lb/棟の牛脂を加へて粉碎したセメントは bleeding の傾向を減じ、空隙を大にし、引張強度の低いコンクリートを造つた。牛脂の代りにベンゾールを用ひたものも略同様な結果を示した。

J. G. Pearson はある種の白雲岩質大理石及び石灰石を骨材として使用すると極めて急速な破壊の原因と

なり、之はそれ等が低溫度では低い、時には反対の符号を持つ膨脹係数のためであると云つてゐる。

アーチの設計 C. S. Whitney を委員長とするアーチに関する委員会は、容積變化を考慮に入れた場合には無意味であると云はれてゐる強度計算を使用しない、新しい鋼筋コンクリートアーチ設計方法を討議に出した。新しい方法に依ると、軸力及びモーメントは彈性理論に依つて計算し、アーチ断面はこの軸力及びモーメントが断面の有效強度を超えないように適宜に決定する。有效強度は所要の安全率及び許容する亀裂の程度に従つてコンクリートの破壊強度から決定する。新しい方法の利點とする處は材料の經濟及び設計の簡明なることである。

その他の報告 H. F. Glensmer は現在の如き硬練りコンクリートを使用するには機械的施工設備を必要とするべく、L. Gardner は同一設備費を以てしても 1918 年頃には現在の約 1/3 の打上り高しか得られず Pennsylvania の通行税取立道路は 1918 年頃には約 2 倍の工費を必要としたであらうと述べた。彼の言に依ると目下の處 10 州が鋪装コンクリートの締固めに振動機を使用することを規定してゐることである。

C. R. Chroft 及び H. R. Anderson は屋根板に凝花の生ずるのを防ぐために二酸化炭素で處理する方法を發表した。之は表面のみを處理すれば良いのであつて、施工後 5 日目に室温程度の温度で 54~63% の CO<sub>2</sub> 液で處理すれば最良の結果が得られる。

T. C. Creagan は貧配合コンクリートを使用したゝめに破損し始めた Canadian 水力堰堤に行つた修理方法について述べた。その方法は先づ小量の炭酸ソーダ(之は凝結を遅らせる目的のために入れる)を混じたセメント糊を水の流れを止めるために下流側から注入し、次いでステアリン酸カルシウムの混和物(之は凝結を早めるために入れる)を混じたセメント糊を注入するのである。

T. Germundsson は寸法の大きい高降伏點鋼(A. C. I. が許してゐるのは許容強度 3 000 lb/in<sup>2</sup> である)の有利なることを強調して之を使用した柱の設計について述べた。柱は 20in 角にして費用は從來の設計に依るもの 134 ドルに比して 88 ドルであつた。M. O. Withey 教授はこの種の設計に於ては附着力に注意しなければならないと指摘した。

尚 41 ft の中空梁が H. M. Hadly に依つて設計された。

## 道 路

### (75) 米國に於ける最近の道路工事統計

(“What the Figures Show.” E. N. R., Jan. 16.  
(1941), p. 98~100. 志村一雄抄)

米國 48 州中 46 州の 1940 年に於ける道路の建設費及維持費の總額は \$ 667 295 000 であつて、1937 年の \$ 685 081 000 に比すると 2.5% の減少である。1940 年の初めに道路局より提出された豫算資料に依ると 1940 年の豫算は 1939 年のそれを約 6% 減少するものであつた。然るに 1940 年の後期に於て政府が國防道路の建設の必要か否かに迷ひこの大計畫の遂行を躊躇した爲、結果に於ては増加せず却つて減少を示した。

米國全國の 1940 年の道路建設費は \$ 452 902 000 で前年に比して 1.5% の減少であり、且本年の道路費總額 \$ 667 295 000 の 68% に當るものである。此の建設費を地方別に示すと表-3 の如くである。

表-3. 1940 年に於ける米國の道路費一覽表

地 方 別	建設費 (\$)	維持並に設備費 (\$)	全道路費 (\$)	建設費に於ける道路費に對する百分率
New Eng.	25 142 000	19 028 000	44 170 000	57.0 43.0
Mid. Atl.	69 151 000	31 813 000	100 964 000	65.6 31.5
South	120 737 000	49 014 000	169 751 000	71.5 28.5
Mid. West	80 322 000	40 639 000	120 961 000	68.0 34.0
W. of Miss.	113 117 000	46 838 000	160 015 000	71.0 29.0
Far West	44 373 000	27 061 000	71 434 000	62.0 38.0
合 計	452 902 000	214 393 000	667 295 000	68.0 32.0

維持並に設備費總額は \$ 214 393 000 で、前年 1939 年の \$ 225 532 000 より 5% の減少であり道路費總額の 32% を占めてゐる。地方別の維持並に設備費を表-3 に示す。尙各地方の建設費及維持並に設備費と道路費總額(建設費並に維持設備費を加へたるもの)との百分比も表-3 に示した。

全國平均の維持設備費の道路費總額に對する比率 32% は 1939 年の 32.4%，1938 年の 33% に比すると減少して居るが、1936 年及 1937 年の夫々 27% 及 29% に比すると増加を示してゐる。

以上の如き額の道路費を 1940 年の國勢調査に依る米國全人口に割當て見ると建設費は人口 1 人當り \$ 3.59、維持設備費は \$ 1.70 で合計 \$ 5.29 となる。尙この人口 1 人當りの道路建設費及維持設備費を地方別に示すと表-4 の如くである。

表-4. 1940 年に於ける米國の人口 1 人當り道路費

地 方 別	1 人當り建設費 (\$)	1 人當り維持設備費 (\$)	1 人當り道路費總額 (\$)
New Eng.	2.98	2.26	5.24
Mid. Atl.	2.42	1.12	3.54
South	4.27	1.73	6.00
Mid. West	3.01	1.53	4.54
W. of Miss.	4.67 (最高)	1.93	6.60 (最高)
Far West	3.88	2.37 (最高)	6.25
全 國 平 均	3.59	1.70	5.29

表面處理の型式 米國の 1940 年に於ける道路建設總延長は 33 128 哩で 1939 年のそれに比して 11% の增加である。この全延長 33 128 哩の内 3 817 哩は所謂

高級鋪装(Pavement)であつてこの延長は全延長の 11.5 %に當りこの内にはコンクリート、煉瓦、石材、木塊、アスファルトブロック、シートアスファルト、ロツクアスファルト、アスフルトコンクリート、其の他が含まれて居る。又 17 195 哩(全延長の 52%)は所謂中級鋪装(dustless surface)であり、この内には正確な操作に依らざるプラント混合及現場混合に依るアスフルト表面處理を施せる鋪装を含むものである。尙純マカダム道、砂利道、自然輒壓に依る碎石道、舗装、鐵鍛其の他に依る所謂砂利道(non-dustless surface)の延長は 5 793 哩で全延長の 17.5%となり、結局残る 19%の 6 822 哩は排水並に路盤格のみ施せるもの(graded and drained)である。

次に此等各種鋪装延長を地方別に示すと表-5 の如くである。

表-5. 1940 年に於ける米國の道路築造延長(単位哩)

地 方 別	高 級 鋪 装 (Pavement)	中 級 鋪 装 (Dustless)	砂 利 道 (Non-Dustless)	排 水 及 路 盤 工 (Graded and Drained)	全 延 長
New Eng.	183.5	493.1	73.0	11.4	721.0
Mid. Atl.	664.6	1 783.8	21.4	68.2	2 538.0
South	1 159.5	3 928.2	1 352.3	2 466.6	8 907.0
Mid. West	1 069.5	3 941.0	543.0	494.0	6 047.0
W. of Miss.	627.6	5 143.2	2 889.9	3 019.0	11 627.7
Far West	157.2	1 901.1	963.5	263.2	3 285.0
全國合計	3 816.8	17 195.4	5 793.1	6 322.4	33 127.7

1941 年の形勢 1941 年の米國の道路費豫算は總額 \$ 663 054 000 であつて、1940 年と殆ど同じで同年の \$ 660 151 000 に比し僅かに 0.4% の増加である。1942 年度(1941 年の 7 月 1 日に始まり 1942 年の 6 月 31 日に終る會計年度)の道路費國庫補助總額は \$ 134 042 500 であつて、例年に比し相當の削減であるが豫算面に現れたる各地方の數字は非常に有望なものであり、尙之に加ふるに軍關係施設への軍用道路の建設及國防的見地より見て軍用價値のある現在道路の改修等を考へると 1941 年の米國道路建設に對する見透しは誠に輝しいものである。

譯者註: 米貨ダラー(\$)は日本の約 4.50 円であるが米國の物價指數が日本のそれに比して非常に高き故 1 億 \$ は直に 1 億円と考へて差支へない程度であると思はれる。

#### (76) 1940 年度に於けるコンクリート道路の進歩

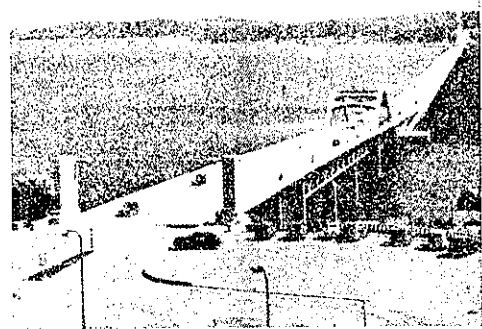
(C. M. Barfer, "Concrete in Highway and Street Development," Roads and Streets, Jan. 1941.) p.59~61. 池田克己抄

新工法について 1940 年の最も素晴らしい道路改良の一つは Washington 通行料徵收橋梁當局に依る Seattle に於ける Washington 潮浮橋であつた。此の設計は、長 350 ft (106.7 m), 幅 59 ft (18 m) 及び深さ 14 ft 3 in (4.34 m) の鐵筋コンクリートのポンツーンの連續より成るコンクリート浮橋造物である。夫等は區割式の扁平

底船で、側面、天井及び底部床版は 8 in (20.3 cm) 厚であり、末端壁、縦方向結構、内部結構及び隔壁は 6 in (15.2 cm) 厚である。

之は近代化された道路の必要に應じて、異常なる構造

圖-24. Washington 潮浮橋



物にコンクリートを適應せしめた重要な例である。此のポンツーンに支持された長さ 6 561 ft (1 999.8 m) の橋によつて、Washington 潮横断は、從來の路線に依る距離より 14 哩 (22.53 km) 減縮せしめられた。

調査研究について コンクリート鋪装に於ける最も實際的な設計原則を見出さんが爲、米國道路局は大いに努力した。多數の調査の結果、コンクリート鋪装の龜裂發生は基本的設計の特徴に多少とも起因するものであると云ふ結論に達した。

目地——多くの實驗的目地の試験計畫が全國を通じて代表的な州に於て着手された。此の實驗の目的は、コンクリート鋪装に於ける膨脹横目地の合理的間隔を求めるとするもので、構造及び觀測計畫を嚴密に統制して研究することとした。此の計畫には、收縮盲目地の效果に關して、荷重を傳播する爲のダウェル又はその類似工法の效果に就いての研究が含まれてゐる。

此の計畫は次の點に關する資料を與へることが豫期された。

1. 普通の膨脹性を有するコンクリート鋪装に於て、收縮目地が龜裂發生を抑制する如き間隔で置かれ、又固形材料が侵入するのを防ぐやうに維持されるならば、膨脹に對する設備は殆ど不要である。

2. 膨脹目地を使用する時には、伸びに對して充分なる膨脹間隔を設ける必要は無くて、構造上の見地からは、壓縮能力を安全限度以内に保つに十分なる間隙を設けるだけよい。

3。亀裂発生を防ぐために適當な間隔で配置された溝型盲目地に於ては、ダウエル又は他の荷重傳播の方法を用ひる必要がなく、特に膨脹目地が省略されるか、又は長い間隔にのみ用ひられてゐる時には不必要である。

之等の試験計畫に於けるコンクリートの配合は其の州の標準に依つたものであつて、粗骨材の最大寸法が  $1\frac{1}{2}$  in (3.8 cm) より少からざる如く計画された。全膨脹目地は押出されない填隙材を有し、或る區間に於ける特殊の荷重傳播方法を施した目地を除いて、 $3/4$  in (1.9 cm) 幅であった。收縮目地は溝形盲目地であつて、間隔は 15,"0 又は 25 ft (4.57, 6.10 又は 7.62 m) であつた。

試験計畫を全からしめるが爲に、築造中注意深い観測が爲された。種々の現象特に發生するまでの亀裂に關して、定時の調査が爲された。鋪装の温度と膨脹及び收縮目地に於ける縦方向移動の測定が、多くの點に於て爲される。之等の測定は温度變化及び床版移動の日及び年週期の範囲を確定するに十分役立つであらう。

配合——此の年の間に、コンクリートの配合、種々の骨材の適應性及び夫の鋪装の耐久性との關係に關して廣範囲の現場調査及び研究も亦實施された。

ペーパー——コンクリート鋪装敷設——機械の發展は注目に値し其の内特に双ドラム型混合機は費用及び馬力の比較的少い増加に依つて、著しく生産速度を高める。

安全交通方法について 多くの新考案の内、比較的著明な數個の特徴を簡単に回顧するに、先づ全國で最も安全な都市の一つである Rhode 島の Providence に於て作られた白色セメント横断歩道がある。之等の街路の交叉點横断歩道は街路と對稱を爲す灰色コンクリートで全幅に涉り作られた。此の白色横断歩道は仕上げ面の  $1\frac{1}{2}$  in (3.8 cm) 以内で街路鋪装を止め、夫から白色ポルトランドセメント、珪砂及び白色大理石碎片より作られた白色ポルトランドセメントコンクリートを打つことに依り作られる。

圖-25. Providence に於ける白色ポルトランドセメントコンクリート横断歩道



常置中央帯を有する幾哩もの鋪装が作られた。之等に於ては交通車線筋は白色ポルトランドセメントコン

クリート、黒色磁鐵礫、着色骨材等の如き材料で作られてゐる。

圖-26 黒色磁鐵礫に依る中央筋の敷設

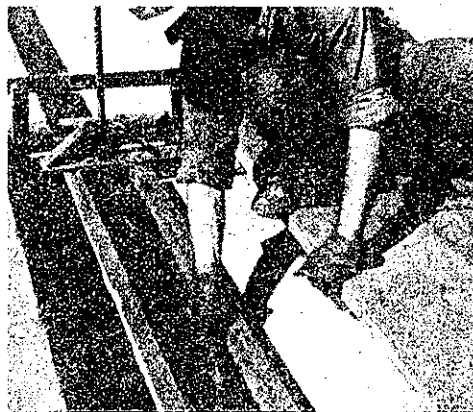


圖-27. 白色セメントに依る車線標識



Tennessee 及び Kentucky 州の道路局では、全州に涉る道路計畫調査を行つた結果、總ての幾らか檢し勾配に於ては、適度に載荷せる貨物自動車でも、安全性に釣合つた合理的速度を維持出来ないことが分つた。依つて一部區間の坂路に於て第 3 車線を作り、右外側車線は赤に着色された。此の赤色車線は貨物自動車及び乗合自動車に指定された。從つて正規の車線は坂路に於て高速交通に對し自由である。着色車線の敷設は、Tennessee 州に於ては鋪装の表層  $2\frac{1}{2}$  in (5.1 cm) に赤色酸化鐵が混入され、一方 Kentucky 州に於ける鋪装は普通の方法で仕上げ、夫から赤色酸化鐵混合物を鋪装上に撒布し表面を鍛し均した。

New Jersey 州道路局では、夜間自動車操縦に安全性を増大する爲に反射綠石の發展と其の改善に顯著な進歩を爲した。之等の反射綠石は白色ポルトランドセメントコンクリートで既塑したものが、幾哩もの分布せる道路に敷設された。

今日の十分近代的な道路の最も顯著な例は 1940 年に完成された Pennsylvania 通行稅徵收道路で、160 吨制限道路である。此のコンクリート道路は 4 車線に分れ、且つ 10 ft (3.05 m) 分割帶により分離された 2 つの 24 ft (7.32 m) 車線から成り立つてゐる。隧道に於ては例外

圖-28. 反射線写

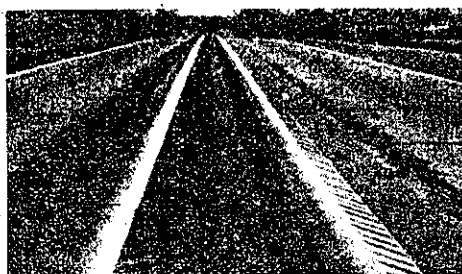
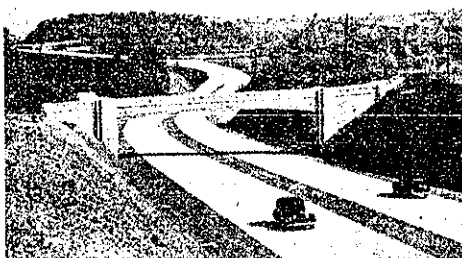


圖-29. Pennsylvania 通行料徵收道路の一部



で、 $11\frac{1}{2}$  ft (3.51 m) 車線 2 つに挾まつてゐる。自由通行料敷地は最少 200 ft (60.69 m) 幅である。盛土に於ては斜線間に 2 つの 10 ft (3.05 m) 幅の犬走りがあり、切取に於ては、其の犬走りは 7 ft (2.13 m) 幅であり、犬走りの外側に排水溝がある。最大勾配は 3% を超過せず、平面曲線は、平均して 1 哩毎に 1 つとし、主として 4 度に限られて居り、2 つだけ 6 度のものがある。此の通行料徵收橋は其の戦略的位置の爲に又其の設計の妥當性の爲に軍事上重要である。

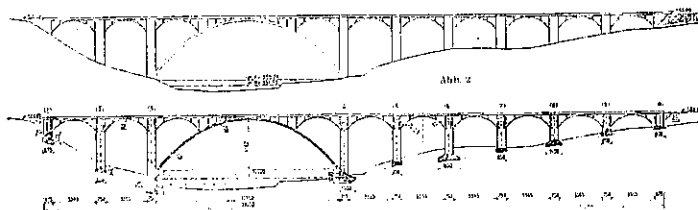
### 橋 梁 及 構 造 物

#### (77) 中歐に於ける長徑間の大拱橋の計畫

(A. Brebera, "Projekt der weitestgespannten Massivbogenbrücke Mitteleuropas," Prag, B & E, November 1940, Heft. 22, S. 309. 日賀幸雄抄)

歐洲に於ける最大の而最も最も美術的な橋梁の一つとも成り得べき橋梁が目下計畫されつゝある。該橋梁は

圖-30.



主拱に結合され且つ荷重を分布させる爲に横桁が設け  
てある。高い橋脚或は支壁は風荷重に對して廣い表面  
を與へ不利であるから、斯の様な比較的幅員の狭い高  
い拱では風力に依る應力を輕減する爲に兩側に補助拱を  
用ひる事が望ましい。該設計に依つて約 40 m にも及  
ぶ可き支壁が最長のもので、10 m に短縮され又更に主  
拱に作用する死荷重が兩側併せて 76 t 軽減された。

厚さ 75 cm の小拱の拱軸線は圓弧が採用されてゐるが自重に依る壓力線が寧ろ二次抛物線に近いので、比較的大きな曲げモーメントを受ける。併し使用鐵筋は丸鋼 C 37 で鐵筋比は 0.76% 以下に止つてゐる。但し補助拱に於ては鐵筋比が 1% 弱増加してゐる。之は橋脚頭部の偏位に起因するもので、即ち起拱點に於けるモーメントは、端部固定點で消滅するものではなく橋脚に傳達されて其の頭部の偏位となつて再現するのである。

主構には高級 Roxarstahl を使用し、其の表面摩擦が大きい爲 鋼筋端に鈎を必要としなかつた。中央に於ける鋼筋比は 0.95% である。

厚さ 15 cm の支壁は各縦桁の部分では桁の幅だけ 50 cm の厚さに擴大され柱状を成し、兩端は夫々拱及び縦桁に剛結されてゐる。唯両端の低い支壁の下部のみが鉄構造となつてゐて、彈性變形を受けた際に龜裂の發生を防止してある。

床版は支間中央に於て 14 cm 厚で  $14 \times 30$  cm のハウシチが附してある。1.74 m 間隔に配置された縦桁は高さ 75 cm、幅 30 cm である。

構造を精密にし且つ主徑間が大なる事も考慮して構造計算は非常に詳細に行つた。次に其の最も重要な構造の研究及び其の結果に就いて述べる。

動荷重としては 1937 年の橋梁構造令の 1 級道路橋に依る荷重、即ち 24t のロードローラー及び  $(530-l)=380 \div 400 \text{ kg/m}^2$  の群集荷重を用ひた。

縦桁は最初に支間 7.26 m の等四径間連続桁として計算し(表-6), 橋脚の代用をなしてゐる支壁は図-31に示される様な脚部固定の連續ラーメンの一部として計算した(表-7, 8)。

表-6

Momente in kgm des mittleren Fahrzahnlängsträgers im Überschatt	0,4 /	1,0 /
Ständige Last . . . . .	+ 6,335	- 8,789
max + $M$ . . . . .	+ 17,748	+ 2,299
Nutzlast max - $M$ . . . . .	- 3,393	- 11,332
Grenzwerte in kgm . . . . .	{ + 24,083 + 2,942	- 6,490 + 20,121

表-7.

Moment in kgm im Schilderkopf	16	14	12	10	8
Solidigkeits Last . .	0	0	0	0	0
Nutzlast . . .	1879	1456	946	685	1414
Temp. (- 25 °C) .	6839	328	1466	1573	9303
Insgesamt in kgm	3714	1894	2412	2258	11217

茲に注意すべき事は脚柱の下端の活荷重に依るモーメントが夫々其の上端のモーメントの半分に等しく、温度に依るモーメントは多少大きい點である。

主拱は最初に補助拱の作用を無視して計算した。補助拱の主拱に及ぼす垂直及水平反力は夫々 530 t 及び

表-8

* Axialkraft in kg	16	14	12	10	3
im Ständerkopf .	30 489	30 489	30 489	30 489	30 489
im Ständerfuß .	32 211	33 994	36 515	39 220	33 107

圖-31

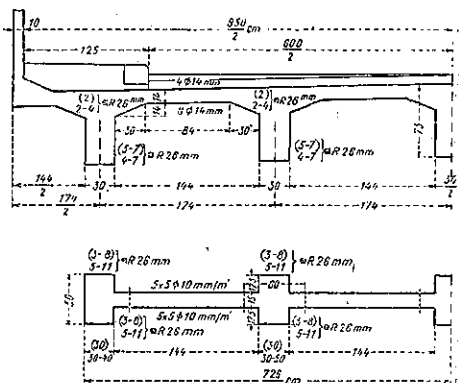
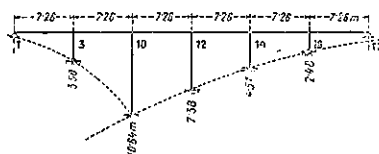


圖-32

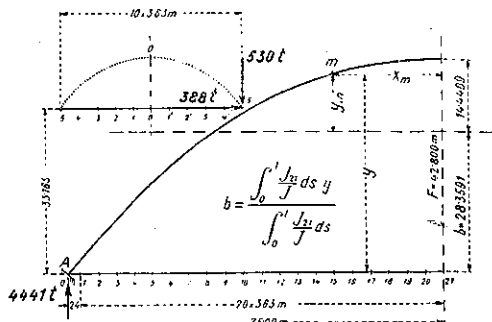
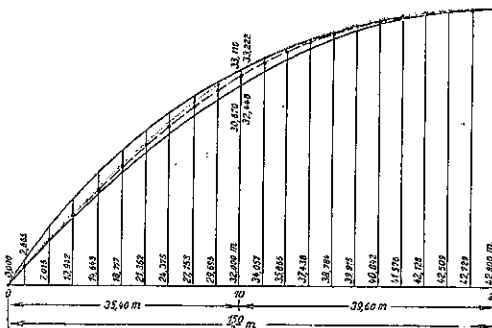


圖-33



388 t である。

次に拱矢を 42.8 m としモーメントの分布を用ひて、各格點の縦距は次の式から

$$y_n = 42.800 \frac{M_n}{M(\text{中央})}$$

補助拱の水平反力を考慮せぬ場合と、考慮せる場合に就いて計算した(図-33)。斯くて補助拱の結合點 10 に於て求められた縦距が夫々  $y_{10} = 32.448$  及び  $y_{10} = 33.222$  となり大體一致してゐるから、格點 10 の縦距を 32.000 m と抑へる。依つて軸線は 10 に於て共通の切線を有する 2 つの三次曲線を用ひる。圖-33 は軸線の選擇を示す。

此の軸線に據つて次の公式から 3 つの不静定値  $H_{ym}$  及び  $H_{zm}$  が決定され獨立した無鉄拱としての主拱の不静定値即ちモーメント、軸力及剪力の影響線が求められる。

$$M = M - H_{ym} - M_{er,m} - H_{zm}$$

$$N = H \cos \varphi - P \sin \varphi$$

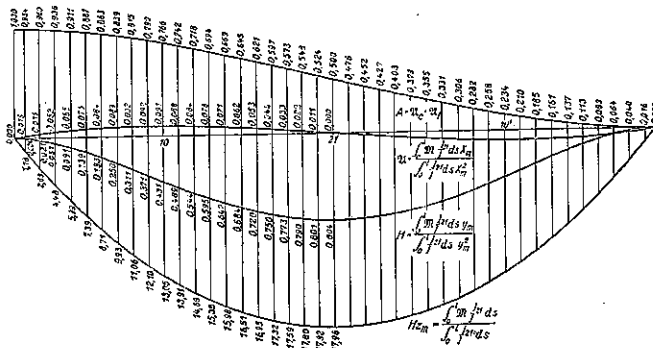
$$T = H \sin \varphi + Q \cos \varphi$$

次に両側の補助拱が同時に作用し、上部の床組構造がない場合に就いて計算する。

補助拱は格點 10 に於て垂直方向に 1.20 m の偏心を以つて主拱に作用する。共に作用する事に對する條件としては、主拱の格點 10 に於ける變位と補助拱の起拱點の夫とが等しい事である。之の爲に主拱の格點 10 に垂直力、水平力及びモーメントが作用した場合の 10 點の単位變位量を求める事が必要である。

最初に主拱の格點 10 に水平力が作用した場合の影響を求め、次にマックスウェルの法則に基いて主拱に水平力が作用した場合の 10 點の水平變位の影響線が求められる。同様にして垂直荷重及びモーメントに依る影響に就いて計算する。

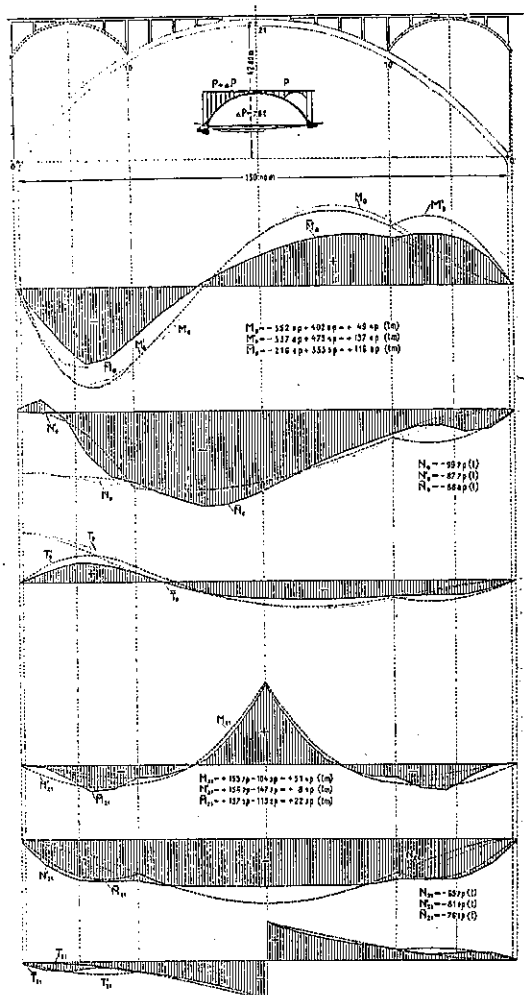
圖-34.



更に移動集注荷重が作用した場合の補助拱の水平力を定め、以上の結果を利用して最後に補助拱及び主拱が別々に存する場合の影響線を合して三重拱の影響線が求められる。

同時に 15°C の溫度降下が主拱のみ、及び三重拱に及んだ場合の影響に就いて計算する。

圖-35.



次に Beggs-Blazek の Modelmethode を用ひて全系(上部構造の剛性をも考慮せる)の影響線が決定される。斯くて個々の系に對する、主拱の 10 點の曲げモーメントの影響線が水平變位の夫と同様にして求められる。

以上の如くして求められた影響線群は圖-35 及び圖-36 に示してある。同圖中點線で示したものは主拱のみの影響線、破線のものは、三重拱の影響線として實線は全系を併せ考へた場合の影響線である。

以上の影響線を用ひて死活荷重に對して計算した値は圖-37 及び表-9 に示してある。

溫度變化及び風壓の影響は比較的少い。橋梁全體に亘つて一様に溫度が上昇した場合の拱頂に於けるコンクリートの壓縮應力は  $56 \text{ kg/cm}^2$  に過ぎない。 $-25^\circ\text{C}$  の溫度降下の場合に起拱點及び 10 點に於ける最大コン

圖-36.

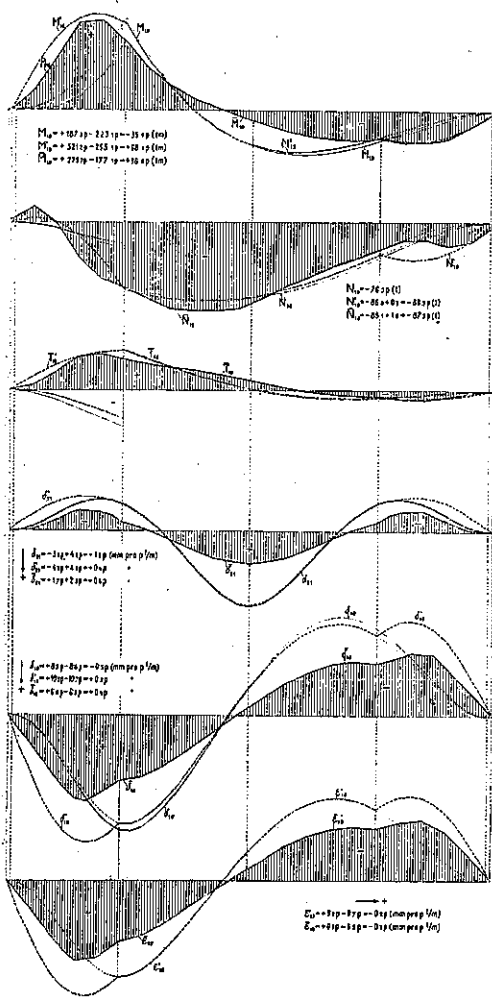


圖-37.

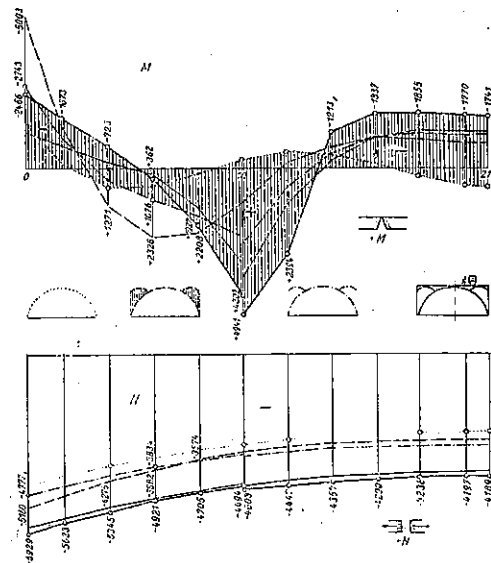


表-9.

Querschnitt	Gesamteinflussse		Bewehrung		Beanspruchung	
	M tm	N t	oben	unten	auf Druck zul. 53 kg/cm <sup>2</sup>	auf Zug zul. 1000 kg/cm <sup>2</sup>
0	-260	-624	6	6	53	-
2	-182	-614	3	3	50	-
4	-83	-607	3	3	38	-
6	+ 43	-580	3	3	32	-
8	+ 234	-572	3	3	56	23
9	+ 386	-567	7	3	55	342
10	+ 616	-575	15	6	57	868
11	+ 481	-572	10	3	58	-
12	+ 306	-568	1	3	56	652
14	- 159	-567	3	3	26	-
16	- 242	-565	3	3	57	40
18	- 247	-563	3	3	56	43
20	- 236	-560	3	3	55	15
21	- 232	-558	3	3	54	15

i) — N Normalkraft (Axialkraft) Druck,  
+ N Normalkraft (Axialkraft) Zug,  
+ T Tangentialkraft (Querkraft) nach aufwärts,  
— T Tangentialkraft (Querkraft) nach abwärts.

クリート圧縮應力度は夫々  $59 \text{ kg/cm}^2$  及び  $58 \text{ kg/cm}^2$ , 又鋼筋の引張應力度は  $908 \text{ kg/cm}^2$  に過ぎない(許容應力は夫々  $70 \text{ kg/cm}^2$  及び  $1900 \text{ kg/cm}^2$  である)。 $150 \text{ kg/m}^2$  の風が活荷重と同時に作用した場合には起拱點

に於けるコンクリート及び鋼筋の應力度は夫々  $67 \text{ kg}/\text{cm}^2$  及び  $865 \text{ kg}/\text{cm}^2$  となる。